

# Вклады электрон-электронного взаимодействия и слабой локализации в проводимость гетероструктур $p\text{-Ge}/\text{Ge}_{1-x}\text{Si}_x$

Ю.Г. Арапов, С.В. Гудина, И.В. Карсканов, В.Н. Неверов, Г.И. Харус,  
Н.Г. Шелушинина

Институт физики металлов УрО РАН,  
ул. С. Ковалевской, 18, г. Екатеринбург, 620041, ГСП-170, Россия  
E-mail: arapov@imp.uran.ru  
neverov@imp.uran.ru

Статья поступила в редакцию 9 октября 2006 г.

Разделены вклады в проводимость от модифицированного беспорядком электрон-электронного взаимодействия и слабой локализации для гетероструктур  $p\text{-Ge}/\text{Ge}_{1-x}\text{Si}_x$  с низкой подвижностью носителей в магнитных полях  $0 \leq B \leq 2$  Тл при фиксированных температурах  $0,2 \text{ K} \leq T \leq 4,2 \text{ K}$ . Вклад зеемановского расщепления в магнитосопротивление был учтен в электрон-электронном взаимодействии, что позволило получить разумные значения времени релаксации энергии (время сбоя фазы  $\tau_\phi$ ) и его степенную температурную зависимость, предсказанную теорией. Оценены значения параметров этих эффектов: константа взаимодействия Хартри  $F_0^\sigma = -0,51$ , амплитуда фермижидкостного взаимодействия  $\lambda = 0,40$ , фактор Ланде  $g = 12,0$ .

Розділено внески в провідність модифікованої безладдям електрон-електронної взаємодії й слабкої локалізації для гетероструктур  $p\text{-Ge}/\text{Ge}_{1-x}\text{Si}_x$  з низькою рухливістю носіїв у магнітних полях  $0 \leq B \leq 2$  Тл при фіксованих температурах  $0,2 \text{ K} \leq T \leq 4,2 \text{ K}$ . Внесок зееманівського розщеплення в магнітоопір був врахованний в електрон-електронній взаємодії, що дозволило одержати розумні значення часу релаксації енергії (час збою фази  $\tau_\phi$ ) і його степеневу температурну залежність, що передбачено теорією. Оцінено значення параметрів цих ефектів: константа взаємодії Хартри  $F_0^\sigma = -0,51$ , амплітуда фермірідинної взаємодії  $\lambda = 0,40$ , фактор Ланде  $g = 12,0$ .

PACS: 73.20.Fz Слабая или андерсоновская локализация;  
73.21.Ac Многослойные структуры;  
**73.40.-с** Электронный транспорт в структурах с границами раздела.

Ключевые слова: электрон-электронное взаимодействие, слабая локализация, зеемановское расщепление, магнитосопротивление.

## Введение

В слабонеупорядоченных двумерных (2D) системах ( $k_F l \gg 1$ ) ( $l$  – длина свободного пробега) при низких температурах оказываются существенными квантовые поправки к друлевской проводимости  $\sigma_0 = e^2 k_F l / h$  двух типов:  $\Delta\sigma = \Delta\sigma^{WL} + \Delta\sigma^{ee}$  – вследствие интерференционных эффектов при рассеянии электронных волн на примесях (слабая локализация)  $\Delta\sigma^{WL}$  и модифицированного беспорядком межэлектронного взаимодействия  $\Delta\sigma^{ee}$ . Обе поправки логарифмически зависят от температуры.

Приложение магнитного поля позволяет разделить вклады этих эффектов, так как каждый из них обладает собственным характерным интервалом магнитных полей  $B$ . Для  $\Delta\sigma^{WL}$  характерным является поле  $B_\phi = h(4eD\tau_\phi)^{-1}$  ( $D$  – коэффициент диффузии,  $h$  – постоянная Планка,  $e$  – заряд электрона), которое определяется временем сбоя фазы электронной волны  $\tau_\phi$ . Локализационный эффект практически полностью подавляется в так называемом транспортном поле  $B_{tr} = h(4eD\tau)^{-1}$ , когда магнитная длина становится меньше длины свободного

пробега  $l$ . Вклад в электронное взаимодействие  $\Delta\sigma^{ee}$  эффекта Зеемана характеризуется полем  $B_z = k_B T (g\mu_B)^{-1}$  ( $g$  — фактор Ланде,  $\mu_B$  — магнетон Бора,  $k_B$  — постоянная Больцмана), когда происходит смена типа полевой зависимости сопротивления с параболического на логарифмический.

Общепринятая схема разделения вкладов электрон-электронного взаимодействия и слабой локализации в проводимость заключается в следующем. Большинство электронных систем (и прежде всего гетеросистема AlGaAs/GaAs) имеют малую величину  $g$ -фактора. Это приводит к тому, что в слабых магнитных полях магнитосопротивление определяется в основном вкладом слабой локализации, и по этому можно определить параметры слабой локализации. После вычитания из полного магнитосопротивления вклада слабой локализации исследуют электрон-электронное взаимодействие (см. например, [1]). Такую схему нельзя применить, если характерные магнитные поля для вкладов слабой локализации и электрон-электронного взаимодействия близки.

Задача данного исследования — на основе современных теоретических представлений построить схему разделения вкладов в проводимость от явлений слабой локализации и электрон-электронного взаимодействия и получить значения параметров, характеризующих данные эффекты в наших образцах. Решение этой задачи осложняется тем, что в системах  $p$ -Ge/ $\text{Ge}_{1-x}\text{Si}_x$  носителями заряда являются дырки, что дает сильную непарараболичность закона дисперсии и большую величину  $g$ -фактора Ланде (на дне первой подзоны пространственного квантования  $g = 20,4$ ). А это, в свою очередь, приводит к тому, что эффект дефазинга и эффект Зеемана дают вклады в проводимость в одной и той же области магнитных полей ( $B_\varphi \approx B_z$ ).

### Теоретические представления

В присутствии внешнего магнитного поля сопротивление  $\rho$  и проводимость  $\sigma$  становятся тензорами второго ранга, компоненты которых имеют следующие соотношения между собой и зависимости от  $B$ :

$$\sigma_{xx} = \sigma_{yy} = \frac{\sigma_0}{1 + \gamma^2}; \quad \sigma_{xy} = -\sigma_{yx} = \frac{\sigma_0 \mu B}{1 + \gamma^2};$$

$$\sigma_{zz} = \sigma_0; \quad B \parallel z; \quad \gamma = \omega_c \tau = \mu B,$$

где  $\omega_c$  — циклотронная частота,  $\mu$  — подвижность носителей. С учетом квантовых поправок к проводимости имеем

$$\sigma_{xx}(B, T) = \frac{\sigma_0}{1 + \gamma^2} + \Delta\sigma^{WL}(B, T) + \Delta\sigma^{ee}(B, T). \quad (1)$$

В магнитных полях  $B >> B_{\text{tr}}$  предыдущая формула примет вид

$$\sigma_{xx}(B) = \frac{\sigma_0}{1 + \gamma^2} + \Delta\sigma^{ee}(B, T).$$

Для компоненты тензора сопротивления  $\rho_{xx}$  при условии  $\frac{\Delta\sigma}{\sigma_0} \ll 1$  получаем

$$\rho_{xx}(B) = \frac{1}{\sigma_0} + \frac{[(\mu B)^2 - 1]\Delta\sigma^{ee}(B)}{\sigma_0^2}. \quad (2)$$

Отсюда видно, что начиная с некоторого значения магнитного поля  $B >> B_{\text{tr}}$  продольное магнитосопротивление должно зависеть от магнитного поля квадратичным образом.

В общем виде поправка к проводимости от межэлектронного взаимодействия в диффузационном режиме ( $k_B T \tau / \hbar \ll 1$ ) и слабой локализации имеет следующую зависимость от  $T$  и поля  $B$  (приведены выражения через характеристические времена и поля):

$$\Delta\sigma = \frac{e^2}{\pi h} \left\{ (1 - 3\lambda) \ln \left( \frac{kT\tau}{\hbar} \right) + \alpha \left[ \Psi \left( \frac{1}{2} + \frac{\tau_B}{\tau_\varphi} \right) - \Psi \left( \frac{1}{2} + \frac{\tau_B}{\tau} \right) \right] - G(b) \right\}, \quad (3)$$

$$\text{где } \tau_B = \frac{\hbar}{4DeB}, \quad b = \frac{g\mu_B B}{kT}.$$

Эксперименты по наблюдению так называемого перехода металл-диэлектрик в полупроводниковых гетероструктурах с высокой подвижностью носителей вызвали существенное продвижение в теории эффектов электрон-электронного взаимодействия 2D-неупорядоченных систем [2,3]. В классических работах [4,5] вклад электрон-электронного взаимодействия получен исходя из проблемы разупорядоченной ферми-жидкости с помощью теории возмущений для наименьшего порядка по величине взаимодействия и имеет следующий вид:

$$\Delta\sigma^{ee} = \frac{e^2}{\pi h} [\Delta\sigma^{ee}(T) + \Delta\sigma_z^{ee}(B, T)] = \frac{e^2}{\pi h} \left[ (1 - 3\lambda) \ln \frac{kT\tau}{\hbar} - G(b) \right]. \quad (4)$$

В (4) первое слагаемое в множителе перед логарифмом соответствует обменной части  $e$ - $e$  взаимодействия (синглетный канал), а второе — хартриевскому вкладу (триплетный канал), которые имеют разные знаки. Здесь

$$\lambda = \frac{\tilde{F}_\sigma}{4} = \frac{1}{4} \left[ \frac{1+F}{F} \ln (1+F) - 1 \right],$$

где  $\tilde{F}_\sigma$  и  $F$  — константы взаимодействия, причем  $\tilde{F}_\sigma \rightarrow F$  в условиях слабого взаимодействия  $F \ll 1$ .

Для функции  $G(b)$ , описывающей положительное магнитосопротивление за счет зеемановского расщепления уровней энергии электронов, имеются следующие выражения, в том числе в предельных случаях [1,6,7]:

$$G(b) = 2\lambda \int_0^\infty d\omega \left[ \frac{d^2}{d\omega^2} \left[ \frac{\omega}{e^\omega - 1} \right] \ln \left| 1 - \frac{b^2}{\omega^2} \right| \right], \quad (5)$$

$$b \ll 1, \quad G(b) = 2\lambda \cdot 0,084 b^2;$$

$$b \gg 1, \quad G(b) = 2\lambda \ln \left| \frac{b}{1,3} \right|. \quad (6)$$

Теперь, если в формулу (4) вместо  $G(b)$  подставим выражение (6) для  $b \gg 1$ , то получим выражение с учетом зеемановского расщепления, т.е. когда  $B \gg B_z$ :

$$G(b, F_0^\sigma) = -\frac{1}{2\pi F_0^\sigma} \sum_{n=1}^{\infty} \left\{ \frac{1}{n} \left( \ln \frac{n^2 + b^2}{n^2 + b^2(1 + F_0^\sigma)^{-2}} \right) - \frac{4b}{n^2} \left( \arctg \frac{b}{n} - \arctg \frac{b}{n(1 + F_0^\sigma)} \right) \right\} - \frac{1}{\pi} \left[ C + \operatorname{Re} \psi \left( 1 - \frac{ib}{1 + F_0^\sigma} \right) \right]. \quad (8)$$

В слабых магнитных полях  $B \ll B_{tr}$  поправка от слабой локализации имеет следующую зависимость от  $T$  и поля  $B$  [8]:

$$\Delta\sigma^*(B, T) = \frac{\Delta\sigma^{WL}(B) - \Delta\sigma(0)}{\sigma(0)} = \alpha \frac{e^2}{\pi h} \left[ \Psi \left( \frac{1}{2} + \frac{\tau_B}{2\tau_\phi} \right) - \Psi \left( \frac{1}{2} + \frac{\tau_B}{2\tau} \right) + \ln \frac{\tau_\phi}{\tau} \right]. \quad (9)$$

### Результаты эксперимента и их обсуждение

Для обработки взяты экспериментальные зависимости компонент тензора сопротивления — продольного сопротивления  $\rho_{xx}$  и холловского сопротивления  $\rho_{xy}$  — от магнитного поля  $0 \leq B \leq 2$  Тл при фиксированных температурах  $0,2 \text{ K} \leq T \leq 4,2 \text{ K}$  для многослойных гетероструктур  $p\text{-Ge}/\text{Ge}_{1-x}\text{Si}_x$  ( $x = 0,03$ ), ширина квантовых ям (слои Ge) 20 нм, ширина барьера (слои GeSi) 20 нм, концентрация носителей  $p = 2,4 \cdot 10^{11} \text{ см}^{-2}$ .

Как при  $B = 0$ , так и в конечных полях  $\sigma(T)$  подчиняется логарифмическому закону (см. рис. 1), что свидетельствует о присутствии вкладов квантовых поправок. В магнитных полях вплоть до  $\omega_c\tau = 1$  наблюдается отрицательное магнитосопротивление (рис. 2), которое начиная с некоторого значения  $B$

$$\Delta\sigma^{ee} = \frac{e^2}{\pi h} \left[ (1 - \lambda) \ln \frac{kT\tau}{\hbar} - 2\lambda \ln \frac{g\mu_B B\tau}{1,3\hbar} \right]. \quad (7)$$

В работах [4,5] получены выражения для  $\Delta\sigma^{ee}(T, B)$  для произвольного отношения между температурой и временем свободного пробега носителей  $\tau$ , а также для произвольной величины электрон-электронного взаимодействия, так что в формуле (4)

$$\lambda = \frac{1 + \gamma_2}{\gamma_2} \ln(1 + \gamma_2) - 1 = \frac{\ln(1 + F_0^\sigma)}{F_0^\sigma} - 1,$$

$\gamma_2$  — амплитуда фермижидкостного взаимодействия,  $F_0^\sigma$  — константа взаимодействия. В диффузионном режиме ( $k_B T\tau / \hbar \ll 1$ ) имеем

пропорционально  $B^2$  в соответствие с выражением (2). При  $\omega_c\tau = 1$  ясно видна точка, в которой сопротивление не зависит от температуры, как следует из (2), равно обратной друлевской проводимости  $\rho_{xx} = 1/\sigma_0$ . Значение магнитного поля, при котором имеет место температурно-независимая точка,  $B \sim (1,0 \pm 0,1)$  Тл. Это позволило нам определить такие параметры образца, как время свободного пробега  $\tau \sim (4,8 \pm 0,3) \cdot 10^{-13}$  с и подвижность носителей  $\mu = (1,0 \pm 0,1) \cdot 10^4 \text{ см}^2/(\text{В} \cdot \text{с})$ ,  $\sigma_0 = 12,3 e^2/h$ .

Приведем формулу (2) к виду  $\rho_{xx}(B) = C_1 + C_2 B^2$ :

$$\rho_{xx}(B) = \frac{1}{\sigma_0} - \frac{\Delta\sigma^{ee}}{\sigma_0^2} + \frac{\mu^2 \Delta\sigma^{ee}}{\sigma_0^2} B^2.$$

Таким образом, зная параметры  $C_1$  и  $C_2$  кривых  $\rho_{xx}(B)$ , можно определить значения  $\Delta\sigma^{ee}(B = 0)$  в пределе больших полей  $B \gg B_{tr}$  и  $B \gg B_z$ , т.е. с учетом эффекта Зеемана (в формуле (4)). По температурной зависимости полученных данных (рис. 3, a, кривая 1)  $\Delta\sigma^{ee}(B = 0)$  (выражение (7)) найдено значение константы взаимодействия Харти  $\tilde{F}^\sigma = 1,6$ . Поскольку теория Альтшулер-Арнова [5] развита для случая слабых взаимодействий  $\tilde{F}^\sigma < 1$ , а в нашем случае это не так, то мы должны воспользоваться более современными и общими

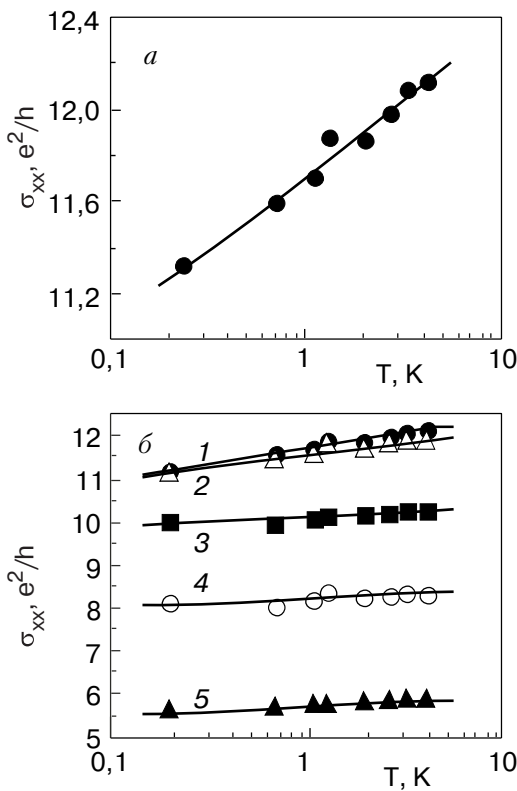


Рис. 1. Температурные зависимости проводимости  $\sigma_{xx}$  при  $B = 0$  (а) и фиксированных значениях магнитных полей  $B$ , Тл: 0 (1); 0,2 (2); 0,4 (3); 0,6 (4); 0,9 (5) (б).

выражениями [3], описывающими сильные взаимодействия с использованием амплитуды фермижидкостного взаимодействия. Получены новые значения фермижидкостной амплитуды и константы взаимодействия:  $\lambda = 0,40$ ,  $F_0^\sigma = -0,51$ .

Предел сильных магнитных полей и нулевого магнитного поля связаны (3), причем эта связь определяется только константой электрон-электронного взаимодействия и не зависит от  $g$ -фактора. Это позволило нам определить вклад электрон-электронного взаимодействия в проводимость при  $B = 0$ . На рис. 3,а хорошо видно, что значения вклада  $\Delta\sigma^{ee}$  в нулевом магнитном поле (кривая 1 на рис. 3,а) и полученные экстраполяцией к  $B = 0$  из области  $B \gg B_z$  (кривая 2 на рис. 3,а) имеют разные знаки и разные знаки температурного коэффициента, т.е. вследствие зеемановского расщепления вклад электронного взаимодействия в магнитопроводимость меняет знак.

По формуле  $\sigma_{xx} = \sigma_0 + \Delta\sigma^{ee} + \Delta\sigma^{WL}$  находим значения  $\Delta\sigma^{WL}$  при  $B = 0$ . На рис. 3,б представлены температурные зависимости полученных вкладов слабой локализации (кривая 2 на рис. 3,б) и электрон-электронного взаимодействия (кривая 1 на рис. 3,б) в нулевом магнитном поле. Видно, что  $|\Delta\sigma^{ee}| \sim |\Delta\sigma^{WL}| / 4$ .

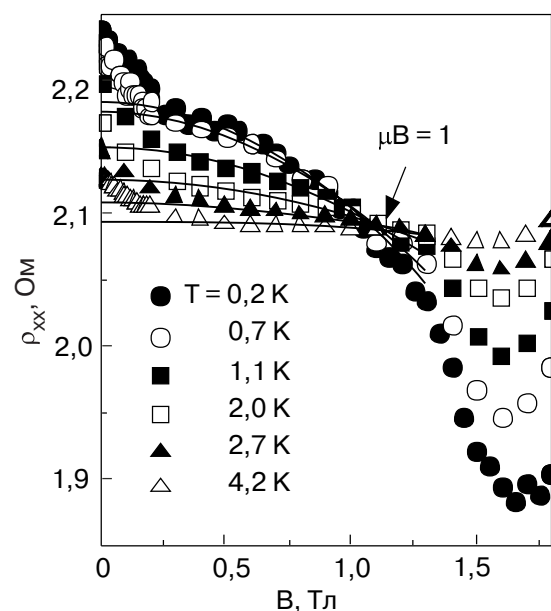


Рис. 2. Зависимости сопротивления  $\rho_{xx}$  от магнитного поля  $B$  при фиксированных температурах  $T$ . Линиями показана интерполяция.  $B_0 \approx 1$  Тл.

При  $B = 0$  формула (9) принимает вид

$$\Delta\sigma^{WL} = \alpha \frac{e^2}{\pi h} \ln \frac{\tau_\phi}{\tau},$$

где  $\alpha$  — префактор, число вблизи единицы. Отсюда находим значения времени сбоя фазы  $\tau_\phi$  электронной волны (см. рис. 4), для которого справедлива степенная температурная зависимость. Определенный здесь показатель степени  $p = -0,98$ , значение префактора  $\alpha = 1$ .

Зная  $\tau_\phi$ , по формуле (5) можем восстановить зависимости  $\Delta\sigma^{WL}(B)$  при фиксированных температурах (рис. 5).

Используя формулу

$$\rho_{xx}(B) = \frac{1}{\sigma_0} - \frac{\Delta\sigma^{WL}(B)}{\sigma_0^2} + (\omega_c^2 \tau^2 - 1) \frac{\Delta\sigma^{ee}(B)}{\sigma_0^2},$$

получаем значения  $\Delta\sigma^{ee}(B)$ . На рис. 6 данные  $\Delta\sigma^{ee}(B)$  приведены в зависимости от отношения  $B/T$ . Согласно теоретическим представлениям, зависимости  $\Delta\sigma^{ee}(B/T)$  для разных температур должны ложиться на одну кривую, что, в частности, было показано для рассматриваемых систем  $p$ -Ge/ $\text{Ge}_{1-x}\text{Si}_x$  на образцах с меньшей концентрацией и подвижностью носителей [9]. Как видно на рис. 6, нам такого поведения получить не удалось. На наш взгляд, это связано с неточным учетом вклада слабой локализации, так как в магнитных полях, где наблюдается расхождение, мы прибли-

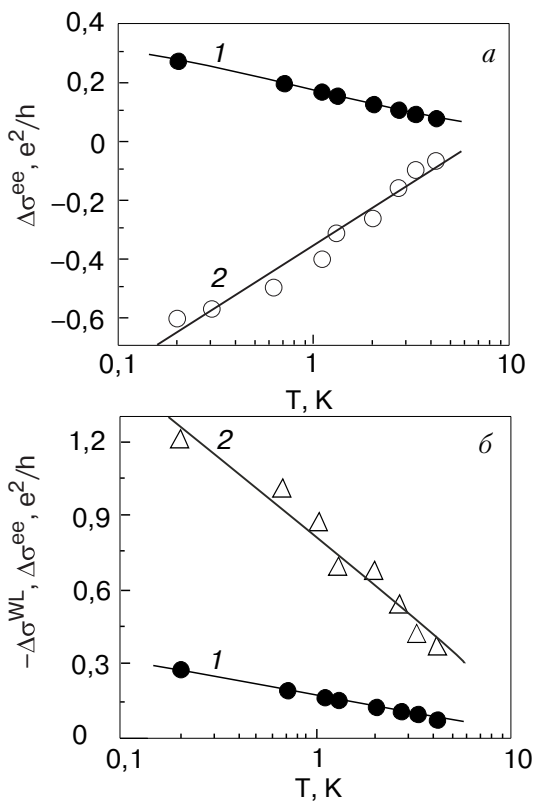


Рис. 3. Температурные зависимости вкладов электрон-электронного взаимодействия проводимость: *а* — с учетом эффекта Зеемана (1) и вклад в сильных магнитных полях, приведенный к  $B = 0$  (2); *б* — электрон-электронное взаимодействие в нулевом магнитном поле с учетом эффекта Зеемана (1) и слабой локализации (2).

жаемся к  $B_{tr}$ , и корректной теории для данной области полей не существует.

Теперь мы знаем значения  $\Delta\sigma^{ee}(B)$  и  $\Delta\sigma^{WL}(B)$ , определили параметры этих эффектов и можем сравнить наши экспериментальные данные  $\rho_{xx}(B)$  с кривыми, построенными по формулам (4), (8), (9) с использованием полученных в расчетах значений

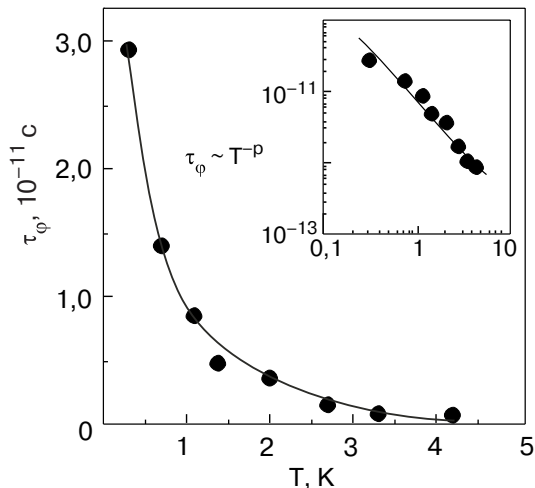


Рис. 4. Температурная зависимость времени сбоя фазы  $\tau_\phi$ .

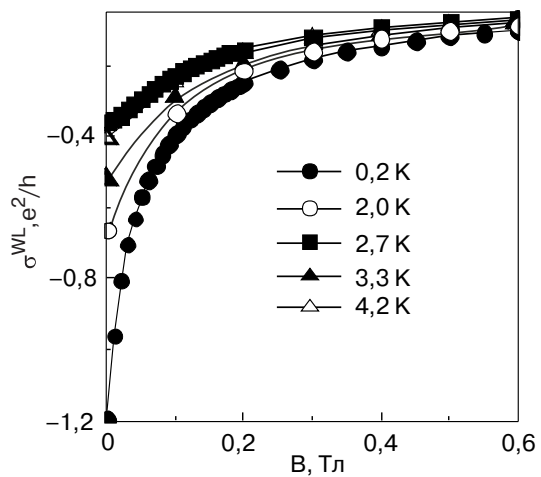


Рис. 5. Магнитополевая зависимость вклада эффекта слабой локализации  $\sigma^{WL}$  в проводимость при фиксированных температурах.

параметров. Результаты такого сравнения можно увидеть на рис. 7. Единственное, что нам не удалось получить ранее, это значение  $g$ -фактора Ланде, поэтому мы варьировали его для получения наилучшего совпадения экспериментальных и расчетных криевых  $\rho_{xx}(B)$ . Полученное при подгонке значение фактора Ланде  $g = 12$ .

### Заключение

В данной работе мы определили параметры электрон-электронного взаимодействия и слабой локализации для гетероструктур  $p\text{-Ge}/\text{Ge}_{1-x}\text{Si}_x$  с низкой подвижностью носителей. Показано, что учет вклада зеемановского расщепления позволяет получить разумные значения времени релаксации энергии (время сбоя фазы  $\tau_\phi$ ) и его степенную темпера-

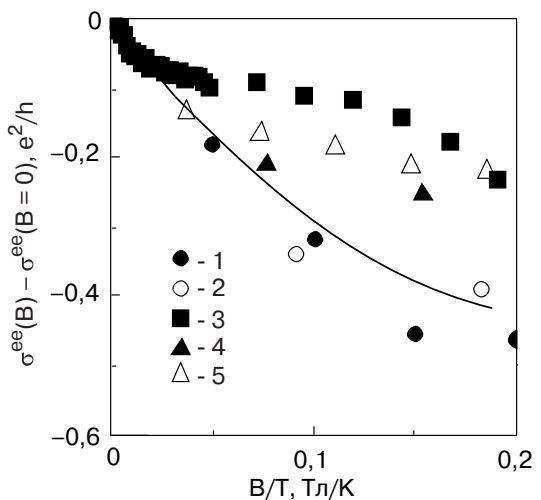


Рис. 6. Зависимость вклада эффекта электрон-электронного взаимодействия  $\sigma^{ee}$  в проводимость от приведенного магнитного поля для  $T$ , К: 0,2 (1); 1,1 (2); 1,3 (3); 2,7 (4) и 4,2 (5).

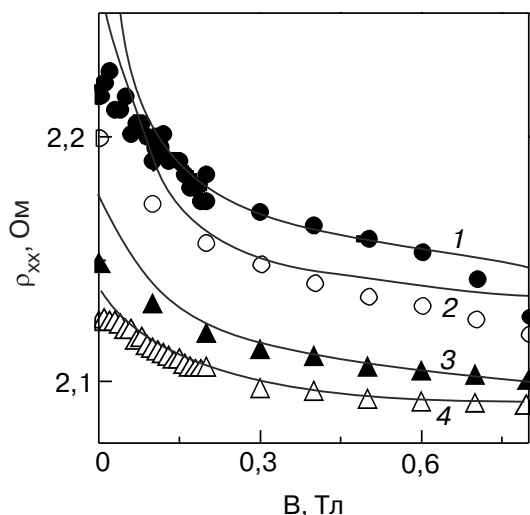


Рис. 7. Зависимости продольного сопротивления от магнитного поля при фиксированных температурах  $T$ , К (символами показаны экспериментальные данные): 0,7 (1); 1,1 (2); 2,7 (3) и 4,2 (4). Сплошные линии построены по формулам (4), (8), (9) с использованием полученных в расчетах значений параметров.

турную зависимость, предсказываемую теорией. Вследствие зеемановского расщепления вклад электрон-электронного взаимодействия в проводимость меняет знак при переходе от слабых к сильным магнитным полям. Оценены значения параметров этих эффектов: константа взаимодействия Хартри  $F_0^\sigma = -0,51$ , амплитуда фермижидкостного взаимодействия  $\lambda = 0,40$ , фактор Ланде  $g = 12,0$ .

Работа выполнена при поддержке РФФИ, гранты 05-02-16206, 04-02-16614; CRDF и Министерства образования и науки РФ, грант Y1-P-05-14 (ЕК-05 [Х1]); программы РАН «Низкоразмерные квантовые гетероструктуры»; УрО РАН, грант для молодых ученых.

1. P.T. Coleridge, A.S. Sachrajda, and P. Zawadzki, *Phys. Rev.* **B65**, 125328 (2002).
2. G. Zala, B.N. Narozhny, and I.L. Aleiner, *Phys. Rev.* **B64**, 214204 (2001).
3. B.N. Narozhny, G. Zala, and I.L. Aleiner, *Phys. Rev.* **B65**, 180202 (2002).

4. P.A. Lee and T.V. Ramakrishnan, *Rev. Mod. Phys.* **57**, 287 (1985).
5. B.L. Altshuler and A.G. Aronov, in: *Electron-Electron Interaction in Disorder System*, Amsterdam (1985), p. 1.
6. P.A. Lee and T.V. Ramakrishnan, *Phys. Rev.* **B26**, 4009 (1982).
7. M.S. Burdis and C.C. Dean, *Phys. Rev.* **B38**, 3269 (1988).
8. S. Hikami, A.I. Larkin, and Y. Nagaoka, *Progr. Theor. Phys.* **63**, 707 (1980).
9. Yu.G. Arapov, V.N. Neverov, G.I. Harus, N.G. Shelushinina, M.V. Yakunin, O.A. Kuznetsov, L. Ponamarenko, and A. De Visser, *Fiz. Nizk. Temp.* **30**, 1157 (2004).

### Contributions of electron-electron interaction and weak localization to conductivity of heterostructures $p$ -Ge/ $\text{Ge}_{1-x}\text{Si}_x$

Yu.G. Arapov, S.V. Gudina, I.V. Karskanov, V.N. Neverov, G.I. Harus, and N.G. Shelushinina

Contributions from the disorder-modified electron-electron interaction and weak localization to conductivity of low mobility  $p$ -Ge/ $\text{Ge}_{1-x}\text{Si}_x$  heterostructures at  $0.2 \text{ K} \leq T \leq 4.2 \text{ K}$  in magnetic field  $0 \leq B \leq 2 \text{ T}$  were divided. Contributions of Zeeman splitting to magnetoresistance have been taken into consideration in the electron-electron interaction. This permitted us to obtain reasonable values of inelastic scattering time  $\tau_\phi$  and its power temperature dependence predicted by theory. The Hartree part of the interaction constant  $F_0^\sigma = -0.51$ , the amplitude of Fermi-liquid interaction  $\lambda = 0.40$ , the Lande factor  $g = 12.0$  are estimated.

PACS: 73.20.Fz Weak or Anderson localization;  
73.21.Ac Multilayers;  
**73.40.-c** Electronic transport in interface structures.

Keywords: electron-electron interaction, weak localization, Zeeman splitting, magnetoresistance.